

**УДК 533.6.011.72+532.526.214**

**© 2004 г. Н. Н. ПИЛЮГИН, В. С. ХЛЕБНИКОВ**

**ИССЛЕДОВАНИЕ ВЗАИМОДЕЙСТВИЯ КОЛЕБЛЮЩЕГОСЯ  
ВДОЛЬ ПОТОКА СКАЧКА УПЛОТНЕНИЯ  
С ПОГРАНИЧНЫМ СЛОЕМ НА ПЛАСТИНЕ**

Исследованы характерные особенности течения в области взаимодействия колеблющегося скачка уплотнения с пограничным слоем на пластине при ламинарном, переходном и турбулентном режимах обтекания. Проведен анализ картины течения, распределений давления и теплового потока в области взаимодействия при различной интенсивности, частоте и амплитуде колебаний скачка уплотнения. Дано сравнение результатов взаимодействия колеблющегося и стационарного скачка уплотнения с пограничным слоем на пластине.

**Ключевые слова:** скачок уплотнения, пограничный слой, ламинарный, переходный, турбулентный, давление, тепловой поток.

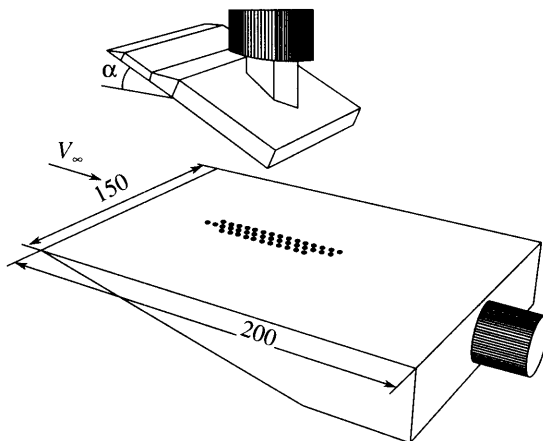
В связи с современным уровнем развития аэродинамики возникает необходимость изучения характерных особенностей течения в области взаимодействия колеблющегося скачка уплотнения с пограничным слоем на поверхности тела. В результате такого взаимодействия меняются частота и амплитуда колебаний, а также интенсивность скачка уплотнения.

К таким задачам относятся взаимодействие скачков уплотнения, генерируемых колеблющимися антеннами либо надстройками на летательных аппаратах, с пограничным слоем на их поверхности; течения с автоколебаниями (массорасходными) отрывных зон, вызванных трехмерностью или переходными режимами обтекания летательного аппарата и т.д.

Взаимодействие скачка уплотнения с пограничным слоем на пластине рассмотрено в ряде экспериментальных работ [1–7]. В основном эти работы посвящены исследованию условий возникновения отрыва, структуры и особенностей течения вблизи зоны взаимодействия, а также распределений давления и теплового потока в ней. В [1–5] дан качественный анализ схем течения в области взаимодействия скачка уплотнения с турбулентным и ламинарным пограничным слоем в зависимости от интенсивности падающего на пластину скачка уплотнения, приведены характерные распределения давления в этих областях. В [6, 7] проведено исследование теплообмена в области взаимодействия скачка уплотнения с ламинарным и турбулентным пограничным слоем. Влияние нестационарных возмущений большой амплитуды на ламинарно-турбулентный переход рассмотрено в [8].

В данной работе исследованы разные режимы взаимодействия колеблющегося скачка уплотнения с пограничным слоем на пластине от относительно малых чисел Рейнольдса до переходных, и соответствующих турбулентному режиму течения.

Исследования проведены в аэродинамической трубе с осесимметричной рабочей частью и подогревом потока при числе  $M_\infty = 3$ . Пластина, около которой исследовалось взаимодействие скачка уплотнения с пограничным слоем, имела ширину 150 и длину 200 мм. Вдоль оси ее симметрии на поверхности располагались дренажные отверстия или калориметрические датчики. Скачок уплотнения индуцировался пластиной

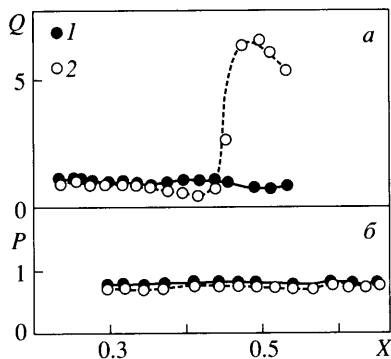


Фиг. 1. Схема расположения моделей в потоке

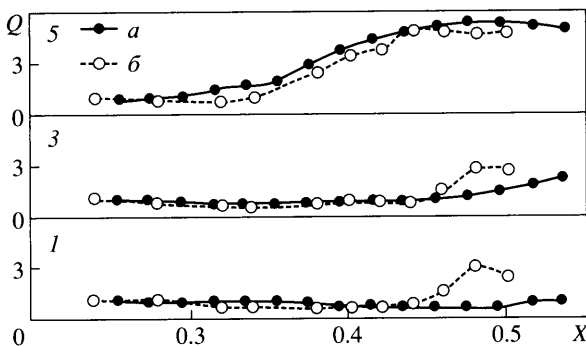
ной шириной 80 и длиной 100 мм, установленной под углом  $\alpha$  к набегающему потоку. Пластина крепилась на вибраторе, при помощи которого она могла колебаться параллельно потоку с заданными частотой и амплитудой. Изменение интенсивности скачка уплотнения производилось путем установки угла атаки пластины  $\alpha$ . Общий вид моделей в трубе представлен схематически на фиг. 1. Испытания проведены при  $\alpha = 6, 18, 24$  и  $30^\circ$ . Частота и амплитуда колебаний скачка уплотнения в испытаниях изменились в следующих пределах:  $v = 0\text{--}40$  Гц,  $a = 0\text{--}9.5$  мм. Пластина, генерирующая колебания скачка уплотнения в широких диапазонах частоты и амплитуды, позволяет моделировать течение в области взаимодействия с пограничным слоем при ламинарном, переходном и турбулентном режимах обтекания.

В области взаимодействия помимо измерений давления и теплового потока проводилось исследование картины обтекания, визуализированной при помощи прибора Теплера. В зависимости от реализующегося на пластине пограничного слоя испытания проведены при различных режимах работы аэродинамической трубы: в случае ламинарного пограничного слоя при  $p_0 = 2.55 \cdot 10^5$  Н/м<sup>2</sup>,  $T_0 = 473$  К,  $Re = 6 \cdot 10^5$ ;  $q_{av} = 3.57$  Вт/см<sup>2</sup>; в случае турбулентного пограничного слоя при  $p_0 = 5 \cdot 10^5$  Н/м<sup>2</sup>,  $T_0 = 393$  К,  $Re = 2.35 \cdot 10^6$ ;  $q_{av} = 2.06$  Вт/см<sup>2</sup>. Здесь  $q_{av}$  – среднее значение удельного теплового потока (по шести точкам) на ламинарном участке пограничного слоя ( $0.235 \leq x \leq 0.335$ ),  $p_0$  и  $T_0$  – полное давление и температура торможения потока, число Рейнольдса  $Re$  вычислено по параметрам набегающего потока и расстоянию от передней кромки пластины до места падения скачка уплотнения  $x_0$ . На фиг. 2 для этих режимов приведены соответственно распределения теплового потока  $Q(X)$  и давления  $P(X)$  на оси симметрии пластины, помещенной в невозмущенный поток. Здесь  $X = x/L$ , где  $x$  – расстояние от передней кромки пластины,  $L$  – длина пластины,  $Q = q/q_{av}$  – отношение удельного теплового потока  $q$  к поверхности пластины в данной ее точке к среднему значению,  $q_{av}$ ,  $P = p/p_\infty$  – отношение давления на поверхности пластины  $p$  к статическому давлению в невозмущенном потоке  $p_\infty$ .

Распределения давления на оси пластины на этих режимах не позволяют определить, какой на ней реализуется пограничный слой (фиг. 2). Распределения же теплового потока показали, что в первом режиме на пластине (в области измерений) реализуется ламинарный пограничный слой, а во втором режиме на участке пластины  $X < 0.43$  – ламинарный, на участке  $0.43 \leq X \leq 0.47$  – переходный и на участке  $X > 0.47$  – турбулентный.



Фиг. 2. Распределение теплового потока (*a*) и давления (*б*) на оси симметрии пластины в невозмущенном потоке: *1* –  $Re = 6 \cdot 10^5$ , *2* –  $2.35 \cdot 10^6$



Фиг. 3. Распределение теплового потока на оси пластины (*a*) и на параллельной ей линии, смещенной на 5 мм (*б*), в невозмущенном потоке для режимов *1*, *3* и *5*

Отрыв ламинарного и турбулентного пограничного слоя определяется по формулам из [9, 10]

$$\frac{p_1 - p_\infty}{p_\infty} = 1.27 \frac{M_\infty^{3/2}}{Re^{1/4}} \quad (1)$$

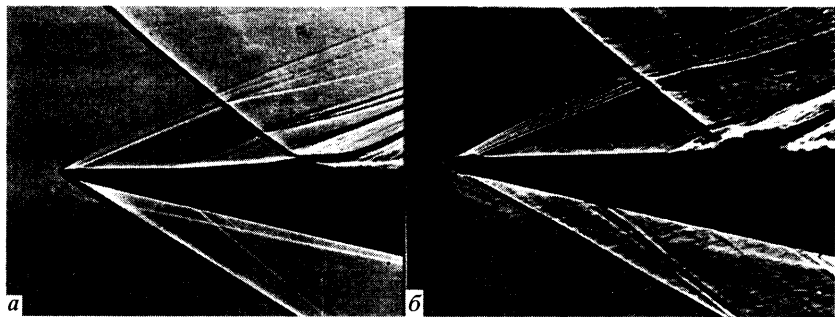
$$\frac{p_1 - p_\infty}{p_\infty} = 0.346 \frac{\gamma M_\infty^2}{1 + (\gamma - 1) M_\infty^2 / 2} \quad (2)$$

где  $p_1$  – давление за скачком уплотнения, вызывающим отрыв, индекс “ $\infty$ ” соответствует параметрам в невозмущенном потоке.

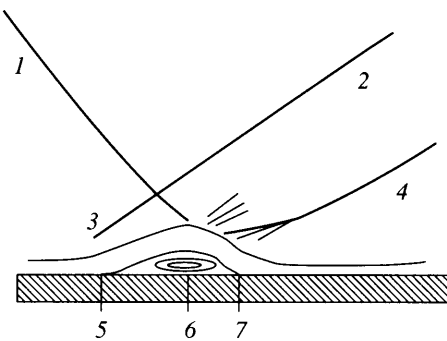
Анализ приведенных зависимостей показал, что отрыв в первом режиме работы трубы произойдет при  $\alpha = 3^\circ$ , а во втором – при  $\alpha = 11^\circ$ .

При исследовании взаимодействия скачка уплотнения с переходным пограничным слоем использовались шесть режимов работы трубы.

Режим, $T_0 = 353$ К	<i>1</i>	<i>2</i>	<i>3</i>	<i>4</i>	<i>5</i>	<i>6</i>
$p_0 \cdot 10^{-5}$ , Н/м <sup>2</sup>	2.29	2.94	3.11	3.43	4.91	6.21
$Re \cdot 10^{-6}$	0.98	1.26	1.34	1.48	2.11	2.67
$q_{av}$ , Вт/см <sup>2</sup>	0.145	0.184	0.192	0.205	0.245	0.299



Фиг. 4. Фотографии картины течения в области взаимодействия стационарного скачка уплотнения ( $\alpha = 24^\circ$ ) с ламинарным ( $Re = 6 \cdot 10^5$ , а) и турбулентным ( $Re = 2.35 \cdot 10^6$ , б) пограничным слоем на пластине

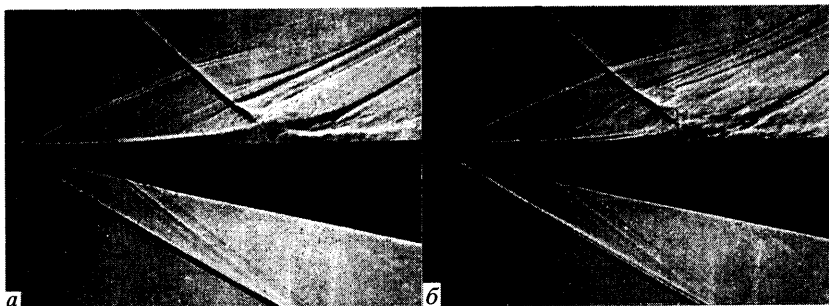


Фиг. 5. Схема течения в области взаимодействия скачка уплотнения с пограничным слоем: 1 – скачок уплотнения, 2 – индуцируемый зоной отрыва скачок уплотнения, 3 – скачок уплотнения в области отрыва, 4 – скачок уплотнения в области присоединения, 5 – точка отрыва пограничного слоя, 6 – точка падения скачка уплотнения, 7 – точка присоединения пограничного слоя

Распределения теплового потока вдоль пластины, расположенной в невозмущенном потоке, для режимов (1, 3 и 5) представлены на фиг. 3. Кривая а соответствует распределению  $Q(X)$  на оси симметрии пластины, б – на линии, смещенной от оси симметрии пластины на расстояние 5 мм. В зоне расположения калориметрических датчиков на оси симметрии пластины (а) в режиме 1 всюду реализуется ламинарный пограничный слой, в режиме 3 до  $X = 0.46$  – ламинарный, а далее – переходный пограничный слой, в режиме 5 – до  $X = 0.32$  – ламинарный, в диапазоне  $0.32 < X \leq 0.46$  – переходный, а при  $X > 0.46$  – турбулентный пограничный слой. Для линии, смещенной от оси симметрии пластины на 5 мм, в режимах 1 и 3 до  $X = 0.45$  реализуется ламинарный, далее – переходный пограничный слой, в режиме 5 изменение характера течения в пограничном слое такое же, как и на оси симметрии пластины.

На фиг. 4 представлены фотографии характерной картины течения в области взаимодействия стационарного падающего скачка уплотнения с ламинарным ( $Re = 6 \cdot 10^5$ , а) и турбулентным ( $Re = 2.35 \cdot 10^6$ , б) пограничными слоями при  $\alpha = 24^\circ$ . Схематически область взаимодействия изображена на фиг. 5 [1, 2, 11, 12].

Отметим, что при стационарном взаимодействии скачка уплотнения с пограничным слоем на пластине при числах  $Re$ , близких к критическому, картина течения ста-



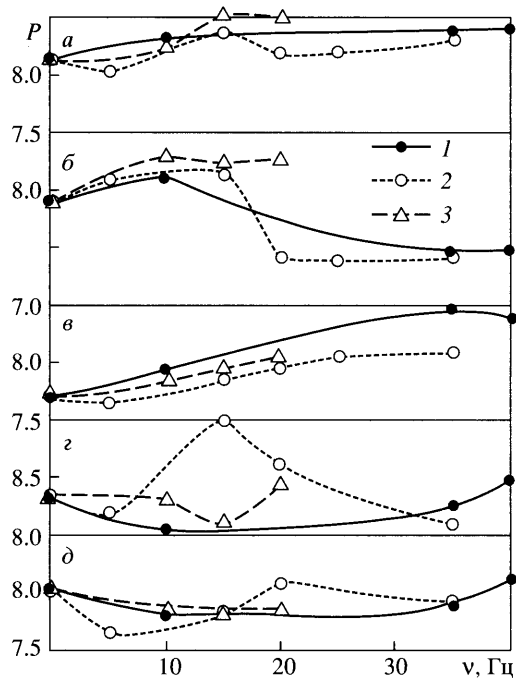
Фиг. 6. Фотографии картины течения в области взаимодействия стационарного скачка уплотнения ( $\alpha = 30^\circ$ ) с пограничным слоем в переходном режиме ( $Re = 1.2 \cdot 10^6$ )

новится нестационарной. Отрывная зона колеблется от ламинарного режима течения к турбулентному. Это подтверждают фотографии картины течения в области взаимодействия скачка уплотнения при  $\alpha = 30^\circ$  с пограничным слоем на пластине при  $Re = 1.2 \cdot 10^6$  (фиг. 6). На фотографиях видно, что отрывная зона в области взаимодействия то длинная (a), как в ламинарном течении, то короткая (b), как в турбулентном потоке.

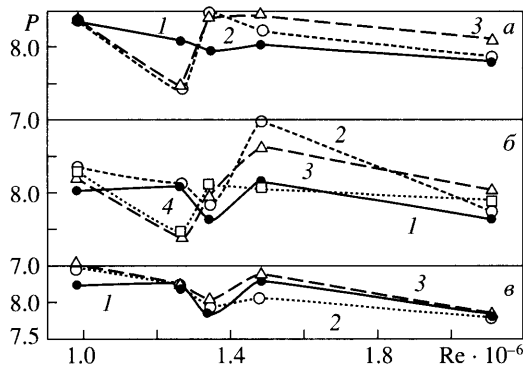
Рассмотрим изменение давления и теплового потока в точке присоединения при взаимодействии колеблющегося скачка уплотнения при  $\alpha = 24^\circ$  с пограничным слоем на пластине, течение в котором будет меняться от ламинарного до турбулентного. На фиг. 7 представлены зависимости давления  $P$  в точке присоединения пограничного слоя от частоты  $v$  и безразмерной амплитуды  $A = a/x_0$  колебаний скачка уплотнения при различных значениях чисел  $Re$ , где  $a$  – амплитуда колебаний падающего на пограничный слой скачка уплотнения в миллиметрах,  $x_0 = 70$  мм – расстояние от передней кромки пластины до места падения скачка уплотнения на ее поверхность. При ламинарном (a) и турбулентном (d) режимах разница между максимальным и минимальным значениями давления в точке присоединения не превышала 0.5. Например, при ламинарном обтекании различие в давлениях для колеблющегося и стационарного скачка уплотнения менее 4.5%. В то же время на переходных режимах обтекания разница составляла 0.9(б), 0.8(в) и 0.95(г). Следовательно, колебания скачка уплотнения оказывают существенное влияние на давление в точке его присоединения.

При взаимодействии колеблющегося скачка уплотнения с переходным пограничным слоем (например для фиксированной амплитуды колебаний  $A = 0.029$ ) с изменением частоты колебаний может происходить резкое изменение давления в точке присоединения пограничного слоя. Так, при изменении частоты от 15 до 20 Гц величина  $P$  уменьшилась на 0.75 (фиг. 7, б, 2), а при изменении частоты от 5 до 15 Гц – увеличилась на 0.85 (фиг. 7, г, 2).

Рассмотрим изменение давления в точке присоединения для фиксированной частоты и амплитуды его колебаний в зависимости от числа  $Re$  при взаимодействии колеблющегося скачка уплотнения с пограничным слоем при его переходе от ламинарного состояния к турбулентному. На фиг. 8 при некоторых значениях  $v$  и  $A$  влияние числа  $Re$  на давление в точке присоединения пограничного слоя весьма слабое (фиг. 8, а, б, 1). Однако увеличение частоты колебаний может приводить к существенному увеличению влияния числа  $Re$  на давление (фиг. 8, а, б, 2, 3) в интервале  $Re = 1.26 \cdot 10^6 - 1.48 \cdot 10^6$ . По-видимому, наложение вынужденных возмущений отрывной зоны, вызванных колебаниями скачка уплотнения, на ее естественные колебания могут в отдельных случаях приводить к резонансным явлениям. Дальнейшее увеличение амплитуды колебаний



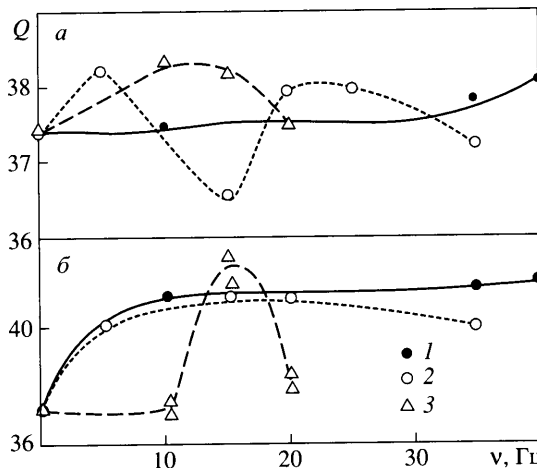
Фиг. 7. Зависимости максимального давления в зоне присоединения пограничного слоя от частоты и амплитуды колебаний скачка уплотнения при различных числах  $Re$ :  $a - Re = 0.98 \cdot 10^6$ ,  $b - 1.26 \cdot 10^6$ ,  $c - 1.34 \cdot 10^6$ ,  $d - 1.48 \cdot 10^6$ ;  $1 - A = 0.014$ ,  $2 - 0.029$ ,  $3 - 0.1$



Фиг. 8. Зависимости максимального давления от числа  $Re$  в области взаимодействия на переходном режиме обтекания:  $a - A = 0.014$ ,  $v = 10$  Гц (1), 35 Гц (2), 40 Гц (3);  $b - A = 0.029$ ,  $v = 5$  Гц (1), 15 Гц (2), 20 Гц (3), 35 Гц (4),  $c - A = 0.1$ ,  $v = 10$  Гц (1), 15 Гц (2), 20 Гц (3)

с скачком уплотнения при его фиксированной частоте приводит к ослаблению влияния числа  $Re$  в рассматриваемом диапазоне изменения на давление в точке присоединения пограничного слоя (фиг. 8, б, в, 2, 3).

Рассмотрим влияние частоты и амплитуды колебаний скачка уплотнения при его взаимодействии с пограничным слоем на пластине на тепловой поток в области присоединения



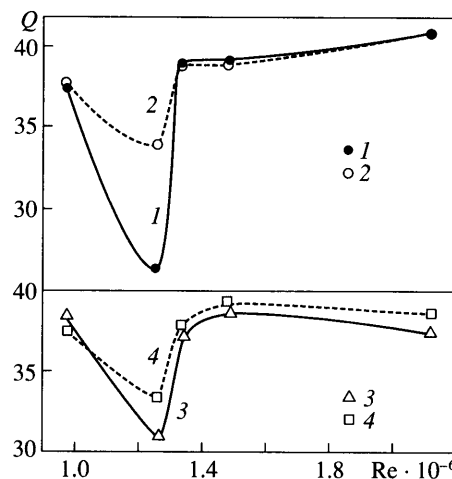
Фиг. 9. Зависимости максимального теплового потока в области присоединения от частоты колебаний скачка уплотнения.  $a - Re = 0.98 \cdot 10^6$ ,  $b - 2.11 \cdot 10^6$ ; 1 –  $A = 0.014$ , 2 – 0.029, 3 – 0.1

ния отрывной зоны. На фиг. 9 представлены зависимости относительного теплового потока  $Q$  в области присоединения отрывной зоны от  $v$  при  $Re = 0.98 \cdot 10^6$  ( $a$ ) и  $2.11 \cdot 10^6$  ( $b$ ). Различие величин тепловых потоков в области присоединения отрывной зоны в случаях колеблющегося и стационарного скачка уплотнения не превышало  $\pm 3\%$  (фиг. 9,  $a$ , 1–3).

В переходном режиме обтекания ( $Re = 2.11 \cdot 10^6$ ) для малых амплитуд  $A = 0.014$  и 0.029 (фиг. 9,  $b$ , 1, 2) при увеличении  $v$  происходит существенное возрастание величины  $Q$  (примерно на 9.5%) по сравнению с тепловым потоком, измеренным в случае взаимодействия стационарного скачка уплотнения с пограничным слоем. Следовательно, можно говорить о том, что данные амплитуды и частоты колебаний скачка уплотнения способствуют турбулизации течения в зоне смешения.

Дальнейшее увеличение амплитуды колебаний скачка уплотнения до 0.1 резко меняет характер зависимости  $Q(v)$  по сравнению с описанным выше (фиг. 10, 3). При увеличении частоты колебаний скачка уплотнения до 10 Гц величина  $Q$  остается практически постоянной на том же уровне, как и в случае взаимодействия стационарного скачка уплотнения с пограничным слоем, т.е. происходит затягивание турбулентного перехода в области присоединения отрывной зоны. При  $v = 15$  Гц происходит резкое возрастание величины  $Q$  (на 12%), что связано, по-видимому, с резонансом при наложении возмущений, индуцируемых колеблющимся скачком уплотнения, на естественные колебания отрывной зоны на переходном режиме обтекания. Можно сделать вывод, что резонанс способствует турбулентному переходу в области присоединения отрывной зоны. При увеличении  $v$  до 20 Гц происходит резкое уменьшение  $Q$  до уровня, близкого к тепловому потоку при  $v = 10$  Гц. Следовательно, колебания скачка уплотнения с большими амплитудами представляют особый интерес при изучении его взаимодействия с пограничным слоем на пластине.

Рассмотрим влияние числа  $Re$  на тепловой поток в области присоединения отрывной зоны при взаимодействии колеблющегося вдоль потока скачка уплотнения с пограничным слоем на пластине для фиксированных значений  $A$  и  $v$  на переходных режимах обтекания. Зависимости теплового потока  $Q(Re)$  при изменении числа  $Re$  от  $0.98 \cdot 10^6$  до  $1.34 \cdot 10^6$  (переходный режим обтекания) имеют крайне неравномерный характер (фиг. 10,  $a$ , 1, 2;  $b$ , 3, 4) как и зависимости  $P(Re)$  на фиг. 8. Причем в этом режиме обтека-



Фиг. 10. Зависимости максимального теплового потока в области присоединения от числа  $Re$  на переходном режиме:  $a: 1 - A = 0.014, v = 10 \text{ Гц}, 2 - 0.029, 20 \text{ Гц}$ ,  $b: 3 - A = 0.1, v = 10 \text{ Гц}; 4 - 0.1, 20 \text{ Гц}$

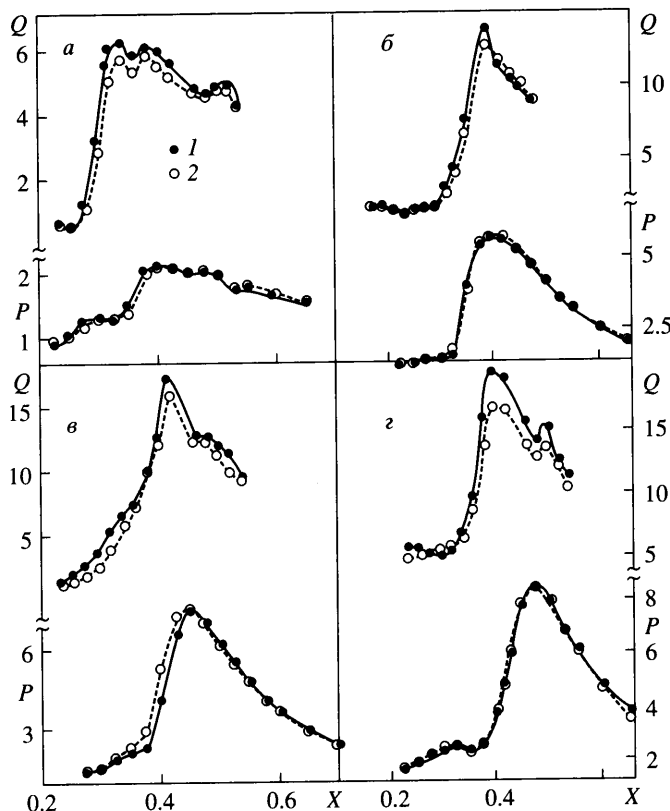
ния величина  $Q$  существенным образом зависит от  $v$  и  $A$ . При дальнейшем увеличении числа  $Re$  в случае малых амплитуд  $A$  тепловой поток  $Q$  продолжает возрастать (фиг. 10,  $a$ , 1, 2). В случае больших амплитуд  $A$  (фиг. 10,  $b$ , 3, 4) тепловой поток убывает и остается на уровне, соответствующем  $Re = 0.98 \cdot 10^6$ .

Рассмотрим результаты измерений давления и теплового потока на оси симметрии пластины в области взаимодействия стационарного ( $v = 0$ ) и нестационарного ( $v = 10 \text{ Гц}$ ,  $a = 9.5 \text{ мм}$ ) скачков уплотнения (при их различной интенсивности) с ламинарным ( $Re = 6 \cdot 10^5$ ) и турбулентным ( $Re = 2.35 \cdot 10^6$ ) пограничными слоями. На фиг. 11 представлены зависимости  $Q(X)$  и  $P(X)$  в области взаимодействия стационарного (кривая 1) и колеблющегося (2) скачка уплотнения соответственно при  $\alpha = 6$  ( $a$ ),  $18$  ( $b$ ),  $24$  ( $b$ ) и  $30^\circ$  ( $z$ ) с ламинарным, а на фиг. 12 – с турбулентным пограничным слоем. При  $Re = 6 \cdot 10^5$  амплитуда  $A = 0.14$ , при  $Re = 2.35 \cdot 10^6 - A = 0.12$ . При  $Re = 6 \cdot 10^5$  отрыв потока происходил при  $\alpha = 6^\circ$  (фиг. 11,  $a$ , 1), при  $Re = 2.35 \cdot 10^6$  – при  $\alpha = 18^\circ$  (фиг. 12,  $b$ , 1).

При  $Re = 2.35 \cdot 10^6$  и  $\alpha = 6^\circ$  (фиг. 12,  $a$ , 1) падающий стационарный скачок уплотнения не вызывал отрыва турбулентного пограничного слоя на пластине, однако способствовал передаче возмущений вверх по потоку по ламинарной части пограничного слоя. Это выражалось в увеличении теплового потока на участке  $0.23 \leq X \leq 0.33$  и давления на участке  $0.32 \leq X \leq 0.42$  (фиг. 12,  $a$ , 1) перед падающим скачком уплотнения (фиг. 2,  $a$ , 2).

При взаимодействии стационарного скачка уплотнения с ламинарным пограничным слоем на пластине максимальное давление на ее оси зафиксировано вблизи точки присоединения, а теплового потока – внутри отрывной зоны (фиг. 12,  $z$ , 1), что согласуется с теоретическими результатами, полученными асимптотическими методами в [13]. Ниже по потоку, за точкой присоединения и замыкающим отрывную зону скачком уплотнения наблюдается локальный максимум теплового потока (фиг. 5 и 11,  $z$ , 1), который вызван растеканием газа на оси симметрии пластины в стороны ее боковых кромок. Аналогичные результаты получены и в области взаимодействия стационарного скачка уплотнения с турбулентным пограничным слоем (фиг. 12,  $b$ ,  $v$ , 1).

На фиг. 12,  $z$  представлено распределение давления в области взаимодействия падающего скачка уплотнения ( $\alpha = 30^\circ$ ) с турбулентным пограничным слоем на пласти-



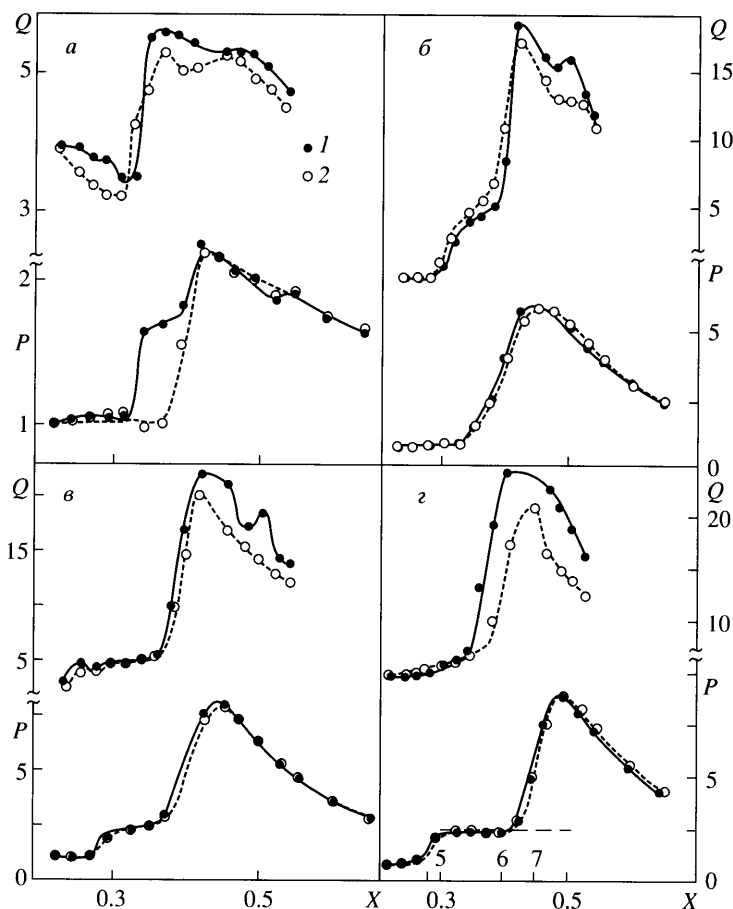
Фиг. 11. Зависимости теплового потока и давления в области взаимодействия от координаты на оси симметрии пластины при ламинарном режиме обтекания ( $Re = 6 \cdot 10^5$ ) для случаев стационарного (1) и колеблющегося (2) скачка уплотнения:  $a - \alpha = 6^\circ$ ,  $b - 18^\circ$ ,  $c - 24^\circ$ ,  $d - 30^\circ$

не. На оси  $X$  отмечены точки отрыва, падения скачка уплотнения и присоединения (фиг. 5). Здесь же штриховой кривой показан результат расчета давления в области плато по формуле [14]

$$\frac{p_1}{p_\infty} = \left( \frac{1 + 0.2M_\infty^2}{1 + 0.128M_\infty^2} \right)^{3.5}$$

Расчетные значения удовлетворительно согласуются с экспериментальными данными.

На фиг. 11, 12 (кривые 2) представлены распределения средних по времени значений теплового потока и давления в области взаимодействия колеблющегося вдоль потока скачка уплотнения ( $v = 10$  Гц,  $a = 9.5$  мм) с ламинарным и турбулентным пограничными слоями на пластине. Распределения давления в области взаимодействия колеблющегося и стационарного скачков уплотнения с пограничным слоем на пластине почти совпадают, а теплового потока – отличаются (например, фиг. 11,  $z$  и 12,  $z$ ). Максимальный тепловой поток  $Q_m$  в области присоединения при колеблющемся скачке уплотнения заметно меньше по величине, чем при стационарном (фиг. 11 и 12,  $a-z$ , 1, 2). Различие в величинах  $Q_m$  тем значительнее, чем большее интенсивность скачков уп-

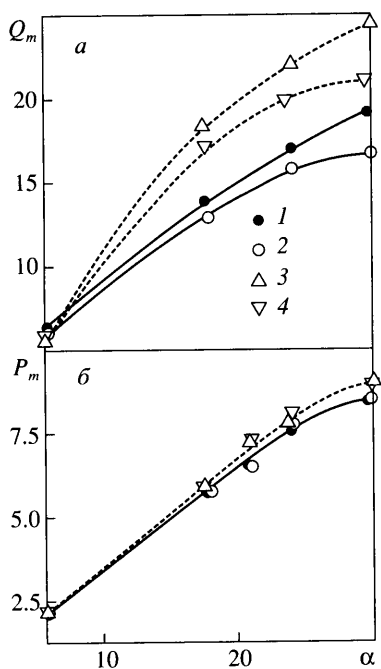


Фиг. 12. Зависимости теплового потока и давления в области взаимодействия от координаты на оси симметрии пластины при турбулентном режиме обтекания ( $Re = 2.35 \cdot 10^6$ ) для случаев стационарного (1) и колеблющегося (2) скачка уплотнения:  $a - \alpha = 6^\circ$ ,  $b - 18^\circ$ ,  $c - 24^\circ$ ,  $d - 30^\circ$

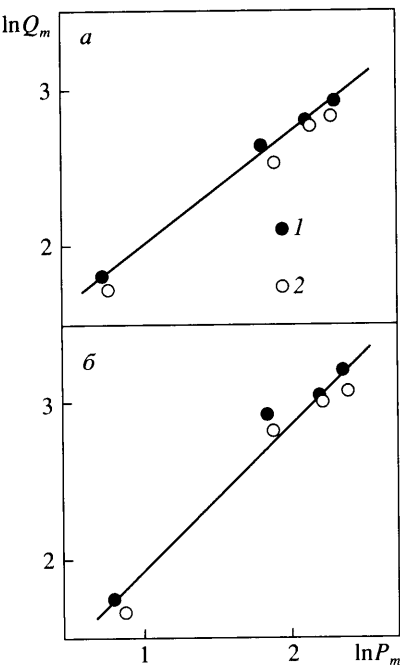
лотнения. Например, при  $Re = 6 \cdot 10^5$  (фиг. 11,  $z$ ),  $2.35 \cdot 10^6$  (фиг. 12,  $z$ ) и  $\alpha = 30^\circ$  величина  $Q_m$  в области с нестационарным взаимодействием на 17% меньше, чем в области со стационарным взаимодействием. С одной стороны, это происходит из-за “размазывания” пика теплового потока в области присоединения. С другой – несмотря на малость числа  $Sh = 0.001$ , под воздействием поперечных возмущений, индуцируемых колеблющимся скачком уплотнения, тепловой поток перераспределяется внутри области взаимодействия.

Измерения высоты зоны отрыва при стационарном и нестационарном взаимодействии ( $Re = 6 \cdot 10^5$ ,  $\alpha = 24^\circ$ ) показали, что в нестационарном случае высота на 11–16% больше. Утолщение отрывной зоны в области нестационарного взаимодействия приводит к снижению теплового потока внутри нее.

Турбулентный пограничный слой – закритический и не пропускает возмущений вверх по потоку. Однако известно, что в результате сильного возмущения от падающего на пластину скачка уплотнения, вызывающего отрыв турбулентного пограничного слоя, часть слоя в отрывной зоне становится докритической и через него возму-



Фиг. 13



Фиг. 14

Фиг. 13. Зависимости максимальных значений теплового потока (*а*) и давления (*б*) в области присоединения от угла наклона пластины для стационарного (*1* –  $Re = 6 \cdot 10^5$ , *3* –  $2.35 \cdot 10^6$ ) и колеблющегося (*2* –  $Re = 6 \cdot 10^5$ ,  $V = 10$  Гц,  $A = 0.14$ , *4* –  $2.35 \cdot 10^6$ , 10 Гц, 0.12) скачка уплотнения

Фиг. 14. Зависимость между логарифмами максимальных значений теплового потока и давления в области взаимодействия для стационарного (*1*) и колеблющегося (*2*) скачка уплотнения: *а* –  $Re = 6 \cdot 10^5$ , *б* –  $2.35 \cdot 10^6$

щения, индуцируемые колеблющимся скачком уплотнения, могут повлиять на характер течения в области взаимодействия.

На фиг. 13 даны зависимости максимальных значений теплового потока (*а*) и давления (*б*) в стационарной и нестационарной областях взаимодействия от угла наклона пластины, индуцирующей падающий скачок уплотнения. Колебания скачка уплотнения слабо влияют на величину  $P_m$  и оказывают заметное влияние на  $Q_m$  при ламинарном и турбулентном отрыве (особенно при большой интенсивности падающего скачка уплотнения).

Для стационарного (точки *1*) и нестационарного (точки *2*) взаимодействий между логарифмами величин  $Q_m$  и  $P_m$  существует линейная зависимость (фиг. 14). При ламинарном отрыве (*а*) коэффициент наклона прямой  $K = 0.85$ , а при турбулентном (*б*) –  $K = 1.2$ , что удовлетворительно согласуется с результатами [15] для этого типа взаимодействия скачков уплотнения с пограничным слоем.

**Заключение.** Экспериментально исследованы течения в области взаимодействия стационарного и колеблющегося вдоль потока скачка уплотнения с ламинарным, пе-

реходным и турбулентным пограничным слоем на пластине. Определены характерные физические закономерности существования таких течений. При взаимодействии стационарного скачка уплотнения с пограничным слоем и числах  $Re$ , близких к критическому значению, происходят автоколебания отрывной зоны от ламинарною течения к турбулентному. Наложение вынужденных колебаний на естественные автоколебания отрывной зоны могут приводить к резонансным явлениям.

Взаимодействие колеблющегося скачка уплотнения с пограничным слоем приводит к снижению теплового потока в области присоединения как при ламинарном, так и при турбулентном режимах обтекания по сравнению с тепловым потоком в случае стационарного скачка уплотнения. Снижение теплового потока тем больше, чем больше интенсивность скачка уплотнения.

Работа выполнена при финансовой поддержке РФФИ (№01-01-00050).

#### СПИСОК ЛИТЕРАТУРЫ

1. Петров Г.И. Аэромеханика больших скоростей и космические исследования. Избр. труды. М.: Наука, 1992. 306 с.
2. Петров Г.И., Лихушин Г.Я., Некрасов И.П., Сорокин Л.И. Влияние вязкости на сверхзвуковой поток со скачками уплотнения // Тр. ЦИАМ. 1952. № 224. 28 с.
3. Hakkinen R.J., Greber I., Trilling L., Abarbanel S.S. The interaction of an oblique shock wave with a laminar boundary layer // NASA. Mem. 1959. NT. 2-18-59 W.
4. Marvin J.G., Horstman C.C., Rubesim M.W., Coakley T.J., Kussoy M.I. An experimental and numerical investigation of shock wave induced turbulent boundary layer separation at hypersonic speeds // AGARD CP168 Göttingen, 1975. Pap.25. 13 p.
5. Chapman D.R., Kuehn M., Larson K. Investigation of separated flows in supersonic and subsonic stream with emphasis on the effect of transition // NACA Rept. 1958. № 1356. 40 p.
6. Кондратьев И.А. Экспериментальное исследование теплопередачи на плоской пластине при взаимодействии косого скачка уплотнения с ламинарным пограничным слоем // Учен. зап. ЦАГИ. 1971. Т. 2. № 2. С. 18–23.
7. Sayano S. Heat transfer in shock wave – turbulent boundary layer interaction regions // Douglas Aircraft Co. Rept. SM 42567. 1962. 55p.
8. Rist U., Pagella A., Krause O., Babucke A. Interaction of an oscillating shock with a laminar boundary layer // Euromech 440. Aerodynamics and Thermochemistry of High Speed Flows. Marseille, 2002. P.119–122.
9. Amick J.L. Semiempirical relation for laminar separation // J. Aero / Space Sci. 1959. V. 26. № 9. P. 603–604.
10. Guman W.J. On the plateau and peak pressure of regions of pure laminar and fully turbulent separation in two-dimensional supersonic flow // J. Aero / Space Sci. 1959. V. 26 № 1. P. 56.
11. Чжен П. Отрывные течения. Т. 1. М.: Мир, 1972. 299 с.
12. Желтоводов А.А. Физические особенности и некоторые свойства двумерных и трехмерных отрывных течений при сверхзвуковых скоростях // Изв. АН СССР. МЖГ. 1979. № 3. С. 42–50.
13. Нейланд В.Я. Асимптотические задачи теории вязких сверхзвуковых течений // Тр. ЦАГИ. 1974. Вып. 1529. 125 с.
14. Абрамович Г.Н. Прикладная газовая динамика. М.: Наука, 1969. 824 с.
15. Kayes J.W., Hains F.D. Analytical and experimental studies of shock interference heating in hypersonic flows // NASA, TN D-7139. 1973. 137 p.